

3. les différents types de recherche de neurone

1.1 la dynamique neuronale

la réseaux de neurone artificiels (ANN : artificial neural networks) combinent une représentation ^{symbolique} d'un système nerveux réel contenant un ensemble de cellules communiquant entre elles.

Le biologiste Hebb fut le premier à postuler qu'à la connectivité dans le cerveau est continulement en évolution sous la forme de l'affaiblissement.

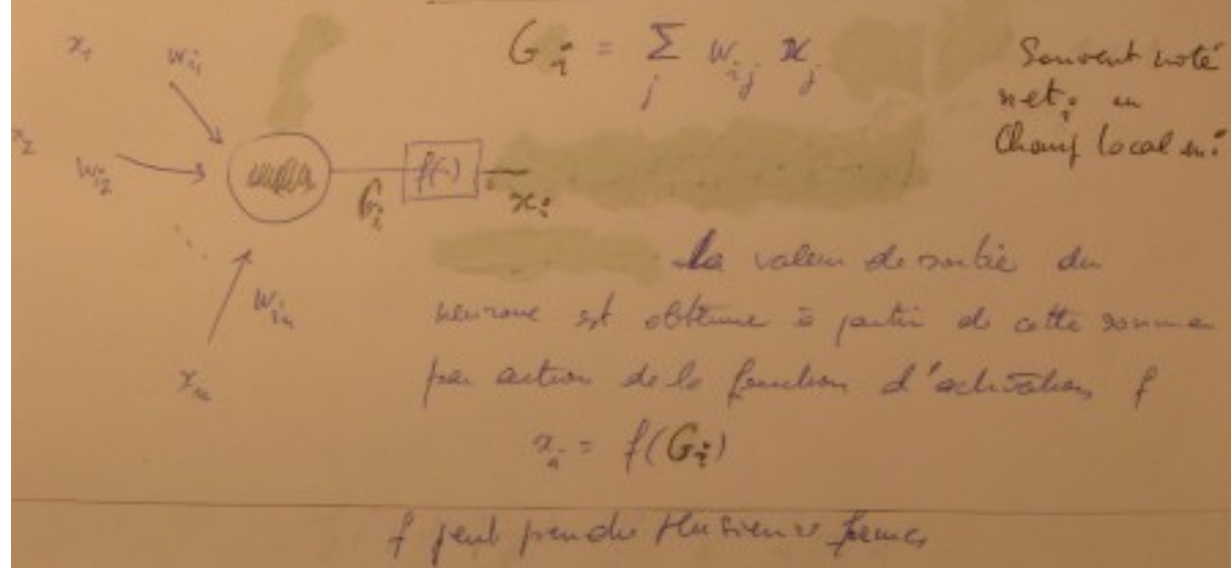
Des systèmes artificiels implementent la règle de Hebb dans leurs algorithmes de modifications de connexions intercellulaires pour assurer la transmission et la traînée.

On peut estimer qu'à l'cerve humain contient environ 10^{10} neurones et 10^{14} synapses (synapses de connexion interneuronales). En chaque neurone, on peut estimer à plus de 1000 le nombre de synapses.

Le rapport temporel d'un potentiel d'action produit par un neurone est de l'ordre de quelques millisecondes, c'est à dire un temps 10^6 fois plus grand que le temps caractéristique de l'activation de tout des les ordinateurs. La connectivité neuronale est cependant de millions de fois plus grande que dans un ordinateur.

Un neurone artificiel va collecter les signaux et la réalité de l'environnement. Si le résultat obtenu dépasse un certain seuil, il va émettre un signal aux autres neurones du réseau.

On pose le totalis, on appelle généralement *champ local* la somme des valeurs de signaux venant d'un neurone donné pondérée par les valeurs de efficacité des connexions synaptiques. Par exemple, pour un neurone i , dont l'efficacité sont $w_{i1}, w_{i2}, \dots, w_{in}$



1.2 les architectures : feedforward, récurrent

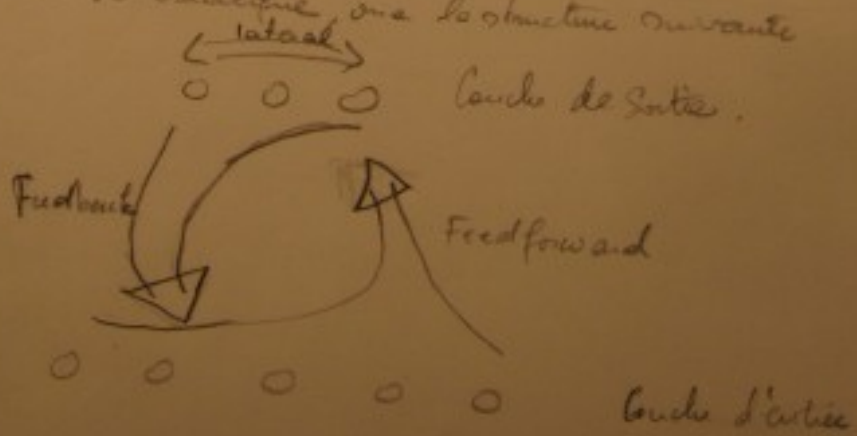
Concernant leurs structures, les réseaux neuronaux sont dans en 2 types : réseau feedforward (propagation vers l'avant) et réseau récurrent (comportant de branche de retrocontrôle)*

Réseau Feedforward : les neurones sont groupés en couches.

Les signaux se propagent de la couche d'entrée vers la couche de sortie par de couplages unidirectionnelles, les neurones étant groupés dans une couche mais pas à l'interne d'une couche - les sorties sont

- le perceptron multicouches (MLP multilayer Perceptron Rumelhart et McClelland 1986)
- le quantificateur octonide (LVQ : linear Vector quantization Kohonen 1989)
- le réseau de groupement de données (GMDH : group method of data handling Hecht Nielsen 1990)

* De manière schématique, une structure récurrente



Ces réseaux généralement réalisent des transformations statiques entre un espace d'entrée et un espace de sortie.
La sortie à un instant est une fonction seulement de l'entrée à cet instant.

Réseaux récurrents : Dans ce cas, les sorties de certains neurones sont envoyées vers ces mêmes neurones ou vers des neurones de couches inférieures - les signaux évoluent vers l'avant et vers l'arrière.

Exemple :

- Réseau de Hoffeld (1982)

- le réseau de Elman (1990), Jordan (1986).

La mémoire de ce système peut être considérée comme dynamique : la sortie à un instant donné peuvent refléter la valeur d'entrée à cet instant ou bien les valeurs à des instants antérieurs.

— N —

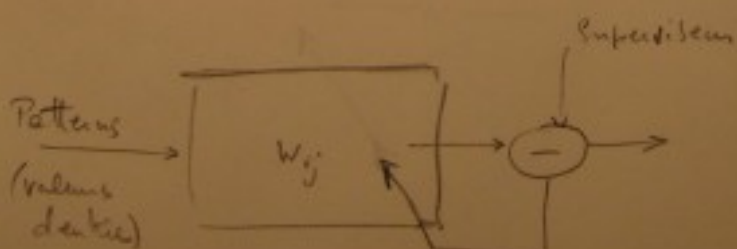
1.3 Un algorithme d'apprentissage

Le réseau peut entraîner les 2 types d'algorithme supervisé et non supervisé. Il existe un 3^e type, l'apprentissage par renforcement, qui peut être vu comme une forme spéciale d'apprentissage supervisé.

- Apprentissage supervisé. Un algorithme d'apprentissage supervisé ajuste le poids ou efficacité des connections interne au réseau pour faire la différence entre les valeurs désirées par la valeur de sortie du réseau et les valeurs effectivement obtenues par le réseau, ceci pour une donnée des valeurs d'entrée.

L'apprentissage supervisé nécessite la supervision pour indiquer les valeurs désirées en sortie.

Les exemples sont : la règle delta (Widrow et Hoff 1960) l'algorithme de retropropagation du gradient ou règle delta généralisée (Rumelhart, McClelland 1986)



Affinement non supervisé

Il n'écoule pas le connaître de valeurs de sortie - Durant l'apprentissage, seuls les patterns sont pris en compte qui adapte automatiquement les fonctions pour réaliser une tâche, celle de catégoriser les patterns en groupes ayant la même caractéristiques.

Les exemples d'apprentissage sont ceux de :

- Kohonen (1984)
- Carpenter et Grossberg : ART Adaptive Resonance theory (1988)

C'est des règles d'apprentissage dites compétitives

Affinement par renforcement

On bien d'utilise un superviseur, l'algorithme inclut une critère de sélection pour évaluer la qualité de la sortie.

L'exemple typique est

- L'algorithme génétique Holland 1975
Goldberg 1989.

— N —

1.4 le réseau de Hopfield :

1.4.1 Structure et fonction d'énergie



le réseau de Hopfield $\stackrel{\text{est}}{\sim}$ composé de N neurones binaires
qui prennent les valeurs $x_i \in \{0, 1\} \quad i=1, 2, \dots, N$
Appelons $G_i(x) = \sum_{j \neq i} w_{ij} x_j$, la somme pondérée par la
fonction de valeur $j \neq i$ de $x_i(x_1, x_2, \dots, x_N)$. C'est le "champ local".
Le neurone i , à l'instant $t+1$, va changer son état x_i
de la façon suivante

$$(H.1) \quad \begin{cases} x_i(t+1) = 1 & \text{si } G_i(x(t)) > \theta_i \\ x_i(t+1) = 0 & \text{si } G_i(x(t)) < \theta_i \\ x_i(t+1) = x_i(t) & \text{si } G_i(x(t)) = \theta_i \end{cases} \quad \begin{array}{l} \text{stable} \\ (\text{peut être} \\ \text{au bout de} \\ \text{plusieurs}) \end{array}$$

Il peut existe plusieurs variantes.

forme à jour (updating) peut se faire de 2 façons : suivant le nombre de cellule courante.

Dans le cas d'un schéma d'itération par cellule, ~~parallèle~~, toutes les cellule sont mises à jour à chaque étape suivant la règle (A.1)

Dans le schéma d'itération arborescente, seule une cellule est mise à jour à chaque pas d'itération. - Dans ce cas, la liste d'indice cellulaire est mise à jour prédictive, soit choisie aléatoirement. De plus, la mise à jour par blocs peut également être faite.

Sous une mise à jour arborescente, avec la condition que toute la cellules ont été mises à jour dans un temps fini le système va alors converger vers un point fixe (point dans l'espace de state c'est à dire $(X_1^0 X_2^0 \dots X_n^0)$) quand les corrections ont certaines formes.

→ Fonction d'incapie
Supposons la convergence de forme caractéristique c'est à dire $w_i = w_{j,i}$, le système admet une fonction de Lyapunov (ou fonction d'incapie) qui est une fonction bornée inférieurement et qui est croissante lors de l'évolution du système tout au long.

Cette fonction est

$$(A.2) \quad F(X) = -\frac{1}{2} \sum_{\substack{i,j=1 \\ j \neq i}}^n w_{ij} X_i X_j + \sum_{i=1}^n \theta_i X_i$$

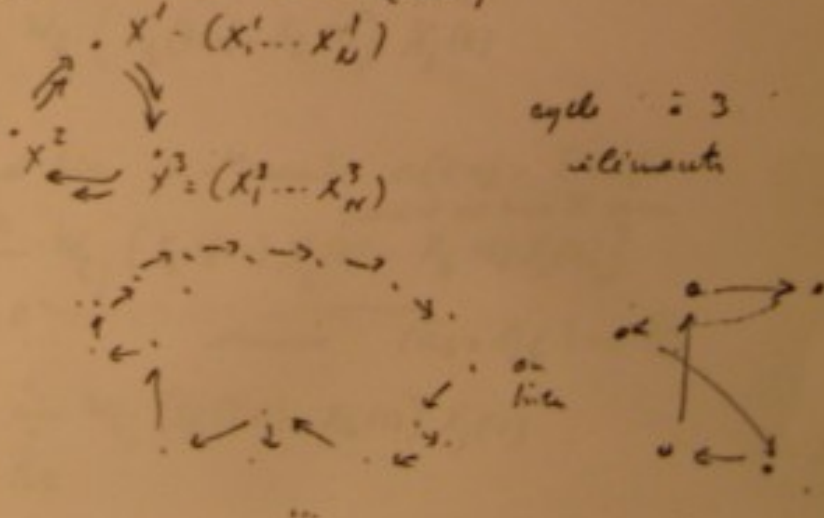
H.2) En fait, on a $E(X(t+1)) = E(X(t))$

De plus, comme $X(t+1)$ et $X(t)$ ne diffèrent que par un élément au plus, si

$$E(X(t+1)) = E(X(t))$$

Cela implique $X(t+1) = X(t)$. Or en dehors que dans le cas d'une dynamique synchrone, les seuls attracteurs sont des points fixes. Les attracteurs sont le domaine de l'espace des états sur lesquels tend asymptotiquement la cité.

Des attracteurs qui ne seraient pas des points fixes pourraient être des cycles, des attracteurs "étranges" (de structure chaotique).



Par contre (H.3) - Suffisant pour la convergence si elle existe pour le reste de jeu à l'instant t , et nous $\delta X_k(t)$ une variation alors que $\delta E(t)$ donne la variation de la fonction d'énergie. On a :

$$(H4) \quad \delta E(t) = E(t+1) - E(t)$$

$$= -\frac{1}{2} \sum_{i,j} W_{ij} [X_i(t+1)X_j(t+1) - X_i(t)X_j(t)] (\delta_{ik} + \delta_{jk}) \\ + \sum_i \theta_i (X_i(t+1) - X_i(t)) \delta_{ik}$$

Pour le 1^{er} membre, on a

$$\sum_i \theta_i (X_i(t+1) - X_i(t))$$

$$\text{avec } X_i(t+1) - X_i(t) = 0 \quad \text{si } i \neq k \\ + 0 \quad \text{si } i = k$$

D'où au total $\sum_i \theta_i (X_i(t+1) - X_i(t)) \delta_{ik}$

De la même façon

$$-\frac{1}{2} \sum_{i,j} W_{ij} \underbrace{[X_i(t+1)X_j(t+1) - X_i(t)X_j(t)]}_A$$

avec $A = 0$ si $i \neq k$ et $j \neq k$

$$W_{ik} \underbrace{(X_i(t+1)X_k(t+1) - X_i(t)X_k(t))}_{\text{cas général}} = W_{ik} (X_i(t)X_k(t+1) - X_i(t+1)X_k(t)) \\ = W_{ik} (X_i(t) (X_k(t+1) - X_k(t))) \neq 0$$

Die Werte für $i \neq k$

Aber jetzt ist die j-te Zeile eine Einheitszeile mit $w_{ij} = 1$ für alle $i \neq j$ (daher sind alle $w_{ii} = 0$)

Ergebnis, also

$$(H.5) \quad \delta X_k(t) = -\delta X_k (G_k(X(t)) - \theta_k)$$

$$\text{aus (H.4)} \quad G_k(X(t)) = \sum_{\substack{j=1 \\ j \neq k}}^N w_{kj} X_j(t)$$

Legt man dann hier

$$(H.6) \quad \sum_i \theta_i (X_i(t+1) - X_i(t)) \delta_{ik} = \theta_k \delta X_k(t) \quad (\text{rechts durch } \theta_k)$$

Dann gilt

$$-\delta X_k \cdot G_k(X(t)) = (X_k(t+1) - X_k(t)) \sum_{j=1}^N w_{kj} X_j(t)$$

$$(H.7) \quad = - \sum_{\substack{j=1 \\ j \neq k}}^N w_{kj} (X_k(t+1) - X_k(t)) \overset{j \neq k}{X_j(t)}$$

Gesucht wird hier ein δ welche $d(H.6)$ - Ergebnis

$$(H.8) \Rightarrow -\frac{1}{2} \underbrace{\sum_{\substack{j=1 \\ j \neq k}} w_{kj} [X_k(t+1) \overset{\text{wegen mindestens}}{X_j(t)} - X_k(t) \overset{\text{wegen mindestens}}{X_j(t)}]}_{\text{wegen } (\delta_{ik} + \delta_{jk}) \rightarrow \delta_k} \rightarrow \delta_k$$

$$(H.8) \quad = -\frac{1}{2} \sum_{\substack{j=1 \\ j \neq k}} w_{kj} (X_k(t+1) - X_k(t)) X_j(t)$$

$$2^{\text{nd}} \text{ term} \quad (\delta_{ik} + \delta_{jk}) \rightarrow \delta_{ik}$$

$$\begin{aligned} (2^{\text{nd}}) &\rightarrow -\sum_{\substack{i \neq k \\ j \neq k}} \left[w_{ik} \left[X_i(t+1)X_k(t+1) - X_i(t)X_k(t) \right] \right. \\ &= -\frac{1}{2} \sum_{\substack{i \neq k \\ j \neq k}} w_{ik} \left[X_k(t+1) - X_k(t) \right] X_i(t) \\ &= -\frac{1}{2} \sum_{\substack{j \neq k \\ i \neq k}} w_{ik} \left[X_k(t+1) - X_k(t) \right] X_j(t) \end{aligned}$$

c'est faire la somme.

Beside

$$(45) \quad \delta E(t) = -\delta X_k \left(\theta_k(x(t)) - \theta_k \right)$$

si $\delta X_k(t) \neq 0$, $\delta X_k(t)$ = Toujours G même
que que $G_k(x(t)) - \theta_k$.
En effet

$$\text{si } X_k(t)=0 \rightarrow X_k(t+1)=1 \text{ si } G_k(x(t)) - \theta_k > 0 \\ \delta(X_k(t)) > 0 \quad \text{---} \quad > 0$$

$$\text{si } X_k(t)=1 \rightarrow X_k(t+1)=0 \text{ si } G_k(x(t)) - \theta_k < 0 \\ \delta(X_k(t)) < 0 \quad \text{---} \quad < 0$$

$$\text{Donc } \delta E(t) \leq 0$$

Le réseau de Hopfield n'est pas un système dynamique à plusieurs degrés de liberté, il est un système linéaire. Ses dynamiques lui permet de converger vers des points fixes qui sont des attracteurs.

Cela veut dire que pour une longue suite de conditions initiales, les états asymptotiques sont les mêmes fixes. Cette insensibilité par rapport aux conditions initiales et unique à poser dans le mécanisme de reconnaissance de patterns brisés qui sont conservés aux conditions initiales.

Il s'agit à présent d'identifier le point fixe de la dynamique avec des patterns que l'on désire stocker dans ce système neuronal. Pour cela, Hopfield a proposé la prescription suivante

1.4.2 Enregistrement et identification

Differentes fois de suite stocker M patterns différents $A^1 \dots A^M$, chaque pattern étant un vecteur à N dimensions (neurones en entier)

la règle pour construire w_{ij} est alors la suivante

$$w_{ij} = (-\delta_{ij}) \sum_{m=1}^M (2A_{i,m-1})(2A_{j,m-1})$$

$$\text{si } A_i^m = 1^0 \text{ - ou anti } \quad w_{ii} = 0 \text{ par } \\ (-\delta_{ii}) = 0$$

$$\text{Cas où } (2A_{i,m-1}) = \begin{cases} -1 & \text{si } A_{i,m} = 0 \\ +1 & \text{si } A_{i,m} = 1 \end{cases}$$

On écrit que w_{ij} est renforcé par le pattern A^m si
 A_i^m et A_j^m possèdent le même valeur (0, ou 1)

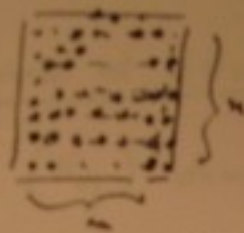
Soit $A_i^m = 0$ et $A_j^m = 0$ Soit $A_i^m = 1$ et $A_j^m = 1$

Cette concordance des valeurs de patterns change
les connexions. Puisque, si $A_i^m = 0$ et $A_j^m = 1$, la
connexion w_{ij} est diminuée pour ce qui concerne
le pattern A^m . - Les patterns A^m sont des fils

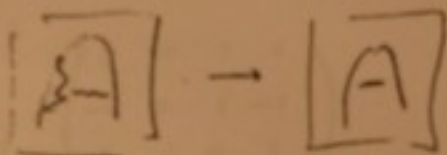
fils pour la dynamique neuronale.
L'algorithme est implementé dans une

fonction en C qui est distribuée.

L'ensemble traité porte sur des patterns ayant
la même dimension.



la taille de celle là. N en entier (Partie) du voisin est $N \times N$ - les parties ont certaine forme qui peuvent de cette manière avoir cette structure.

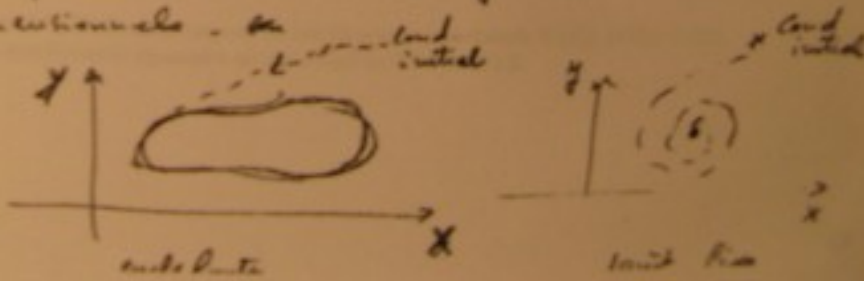


\rightarrow part fine

L'entière de la fonction devrait croire à l'entière de part fine pour des images de presents (comme conditions initiales de la dynamique) de patterns trouvés dans le bassin d'attraction d'un point fixe donné et d'effets un par un vers ce point fixe stabilisant ainsi une forme de reconnaissance. -



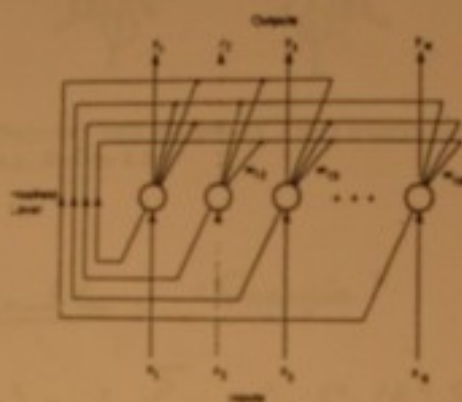
Ceci fait une visualité non de système plus simple bidimensionnelles - ou



Réseaux d'attracteurs (complément sur le modèle d'Hopfield)

Traj.

Modèles de mémoire associative,
récurrents à une boucle (Hopfield 82 → 95,



Connections : fixées en fonction des patterns que l'on desire enregistrer.

Variables dynamiques cellulaires : $\sigma_i = \begin{pmatrix} 0 \\ 1 \end{pmatrix}$

Suivant émission ou non émission d'un "spike"

Relation d'entrée Sortie

$$S_i(k+1) = \text{Sgn} \left(\sum_j w_{ij} S_j(k) - \theta_i \right)$$

↓
Temps discret $\underbrace{\quad}_{\text{règle de somme}}$ ↓
résult

$$S_i = 2\sigma_i - 1 = \begin{pmatrix} +1 \\ -1 \end{pmatrix}$$

$$\text{Sgn}(u) = +1 \quad \text{si } u > 0$$

Sorties du réseau $y_i = \gamma_i(n) \dots$

Trajectoires et Attracteurs.

(W_{ij}) donnée \rightarrow Trajectoires dans l'espace de tous les états.

Exemple, 4 cellules, 2⁴ états possibles

$(\dots\dots\dots)$ $(\dots\dots\dots)$ $(\dots\dots\dots)$
 0 1 2 3 4 5 6 7 8 9 A B C D E F

$$W_{ij} = \begin{pmatrix} 0 & -1 & 1 & 1 \\ -1 & 0 & 1 & -1 \\ 1 & 1 & 0 & 1 \\ 1 & -1 & 1 & 0 \end{pmatrix}$$

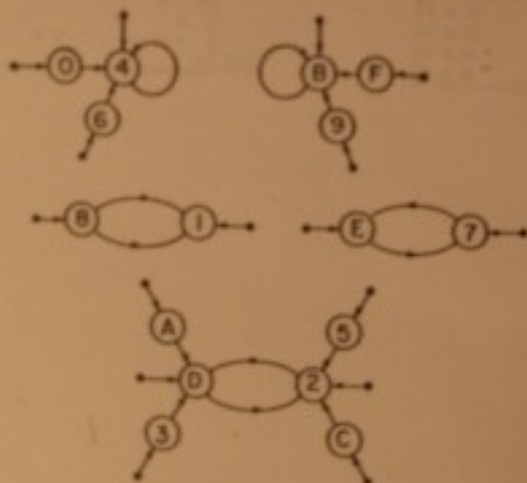


Figure 2.7: Trajectory map of 16 initial states in network 2 (J_{ij} of Eq. 2.25) with synchronous dynamics as described in Section 2.2.2.

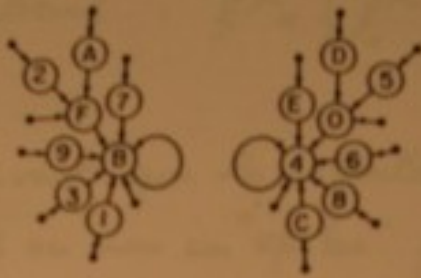


Figure 2.8: Trajectory map for network 2 with sequential, asynchronous dynamics. See e.g., Section 2.2.3.

variable ensemble, "Energie"

$$E(t_k) = -\frac{1}{2} \sum_{i \neq j} w_{ij} S_i(t_k) S_j(t_k)$$

$$\therefore E(t_{k+1}) \leq E(t_k)$$

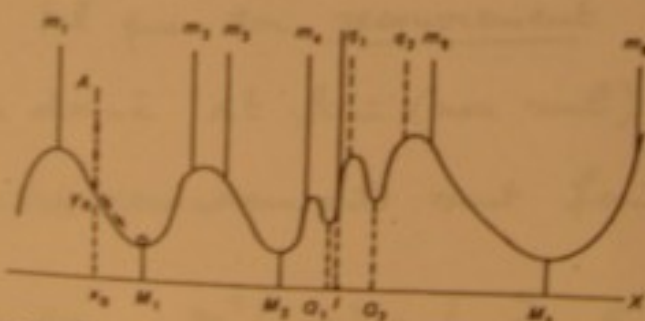
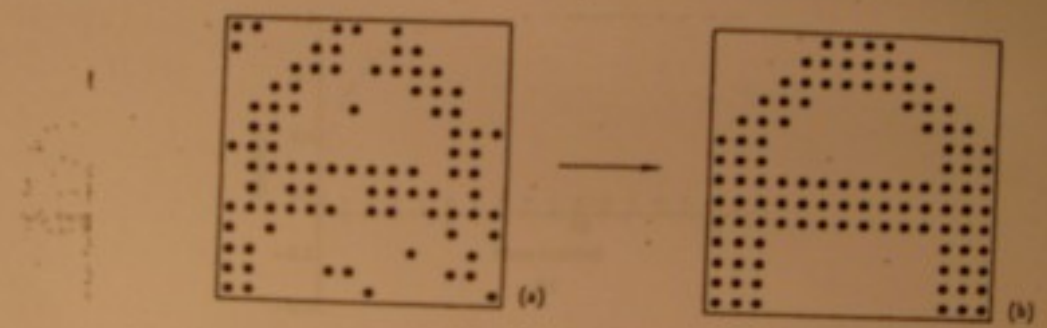


Figure 2.10: The one-dimensional landscape metaphor for associative, context-admissible memory. M_1, M_2 are memories, Q_1, Q_2 are spurious states, m_1, \dots, m_n are maxima delimiting basin of attraction.



Apprentissage

- Stocker p patterns : $\xi^{\mu} = \{\xi_1^{\mu}, \xi_2^{\mu}, \dots, \xi_N^{\mu}\}$
 $\mu = 1, 2, \dots, p$
- $\xi_i^{\mu} = \pm 1$ suivant que la cellule d'input a émis ou non un "spike" pour le pattern μ

Précision de Hopfield.

$$\Delta W_{ij} = \frac{1}{N} \sum_{\mu=1}^p \xi_i^{\mu} \xi_j^{\mu} \quad \sim \text{Règle de Hebb}$$

Reconnaissance

Expérience numérique.

Présentation au réseau d'un stimulus $\{S_i^{in}\}$ tel que son recouvrement avec le pattern donné est fini (non nul) alors que les autres recouvrements sont faibles

$$\underline{\text{Ex:}} \quad m^*(t=0) = \frac{1}{N} \sum_i \xi_i^* S_i^{in} \neq 0$$

$$m^{\mu}(t=0) \approx 0 \quad \mu \neq 1$$

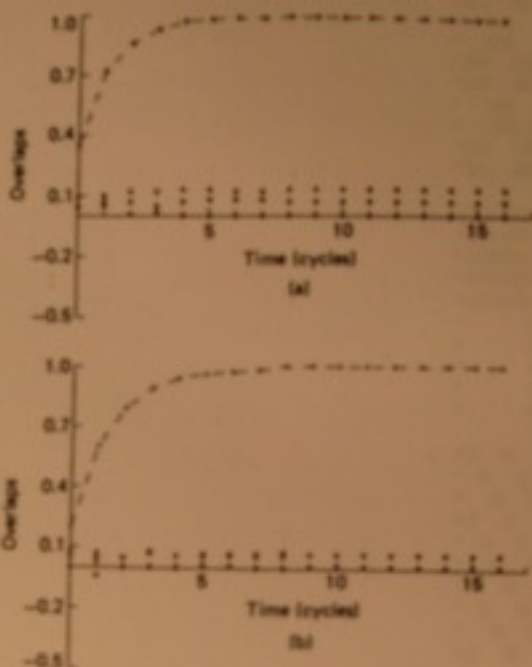


Figure 4.4: Time evolution of overlap of a network state with the stored memories for two initial configurations. (a) $m^1 = 0.35$; (b) $m^1 = 0.2$. Simulation with $N = 400$, $p = 7$, and noiseless asynchronous dynamics.

1.5 Systèmes autoorganisants

Von der Malsburg (71) Grossberg (76) Fukushima (7)

Kohonen (89)

Obermeyer (91) : Applications au système visuel.

Classifiants de grande quantité de données.

Mécanisme de plasticité synaptique : compétitif

Amplifie les réponses des cellules ayant initialement une forte activité

Kohonen : Cellules avec interactions latérales de partie finie

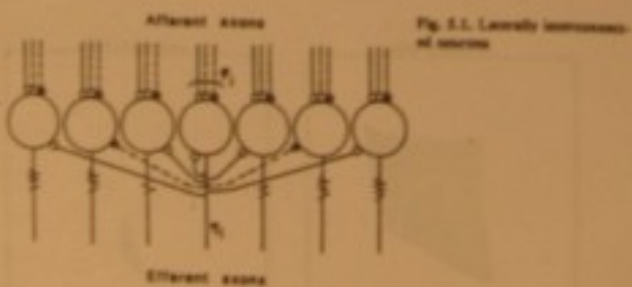


Fig. 5.1. Lateral connections of neurons

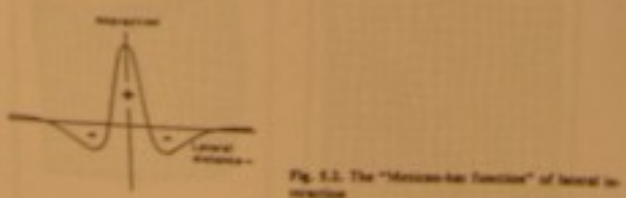


Fig. 5.2. The "Mexican-hat function" of lateral inhibition

Consequence : Amplification des réponses de certaines cellules dites "vainqueurs"

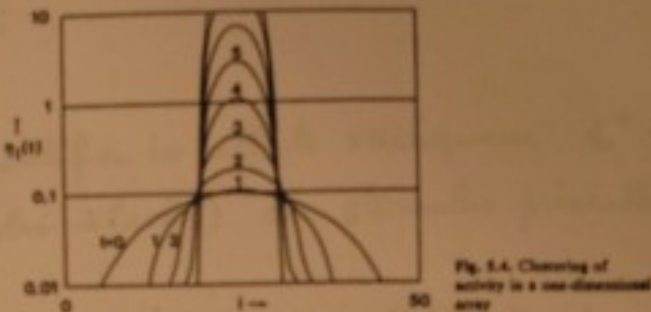
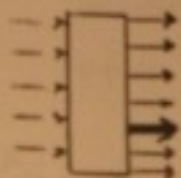


Fig. 5.4. Clustering of activity in a one-dimensional array



Affrentement (non supervisé) pour l'autorganisation

But: modifier les connexions de façon dynamique afin de classifier les patterns (E_1, \dots, E_m)

~ Transformations somatosensorielles.

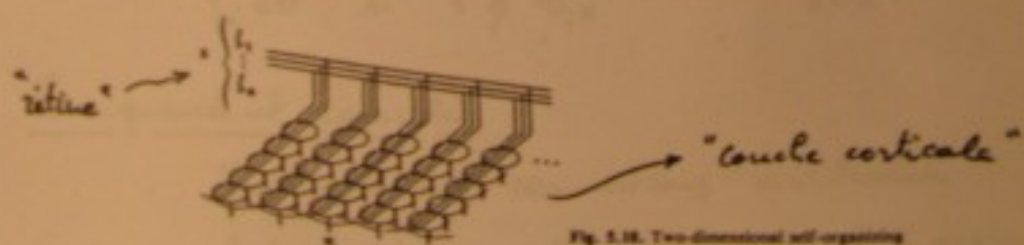
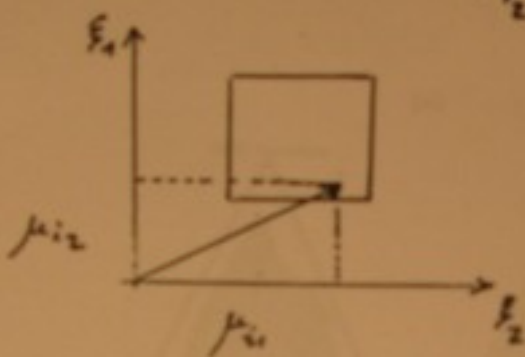


Fig. 5.18. Two-dimensional self-organizing process

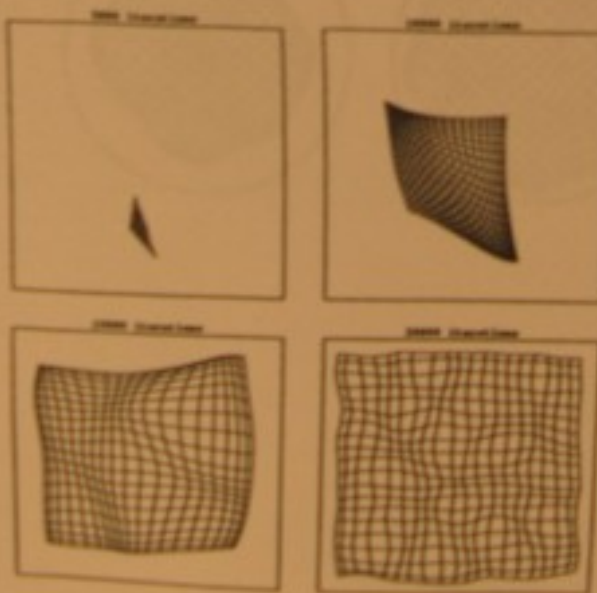
Cablage : Représentation des connexions dans la même surface que celui des patterns

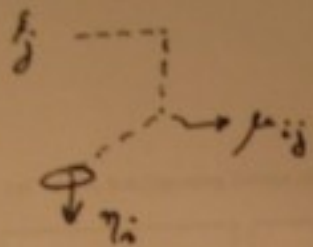
Exemple Rétine à Carré

$$\vec{g} = \begin{cases} g_1 \\ g_2 \end{cases}$$



On connecte 2 extrémités de vecteurs j_{ii} et j_{ij} si i et j labellisent 2 cellules voisines sur la couche corticale





Algorithme

1) Identifier la cellule vainqueur i^* (η_{i^*} le plus élevé) au stimulus présenté

2) Adaptation (de type Hebbien) dans un voisinage de la cellule vainqueur, itération après présentation de chaque pattern.

$$\frac{d\mu_{ij}}{dt} = \gamma(\eta_i \xi_j - \delta(\eta_i) \mu_{ij}) \quad 0 \leq d \leq 1$$

↓ ↓
 valeur de valeur d'entrée
 sortie de la de la cellule j
 cellule i

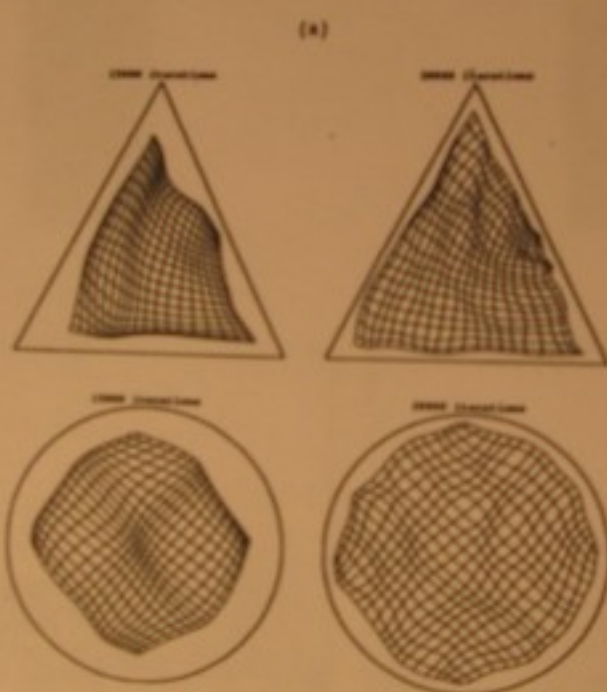
$$\eta_i = 1 \quad \text{si } i \in V_{i^*} \quad \delta(0) = 0$$

$$\eta_i = 0 \quad \text{si } i \notin V_{i^*} \quad \delta(1) = 1$$

Consequences et exemples

Initialement connections arbitraires

Adaptation \rightarrow Etablissement d'un ordre



136 3. Self-Organizing Feature Maps

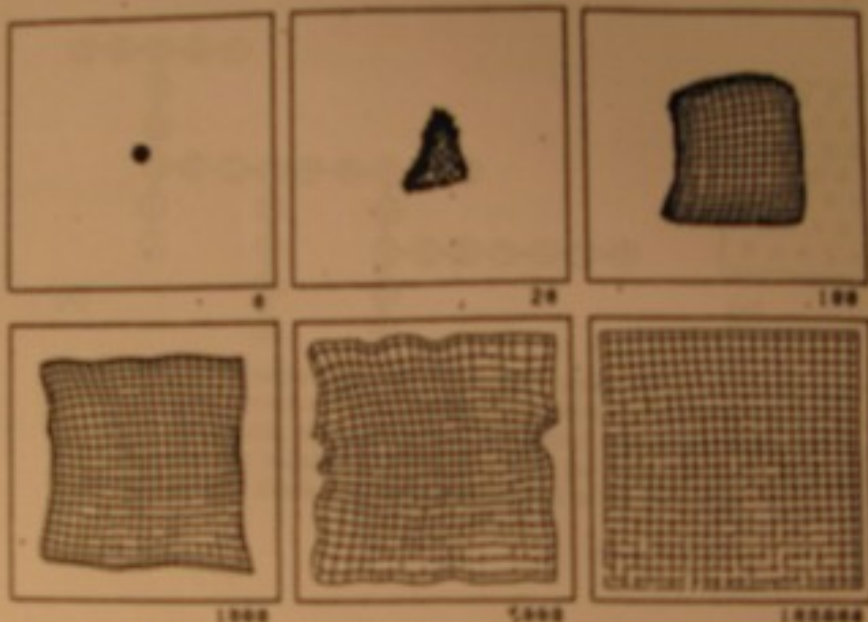


Fig. 3.16. Weight vectors during the ordering process

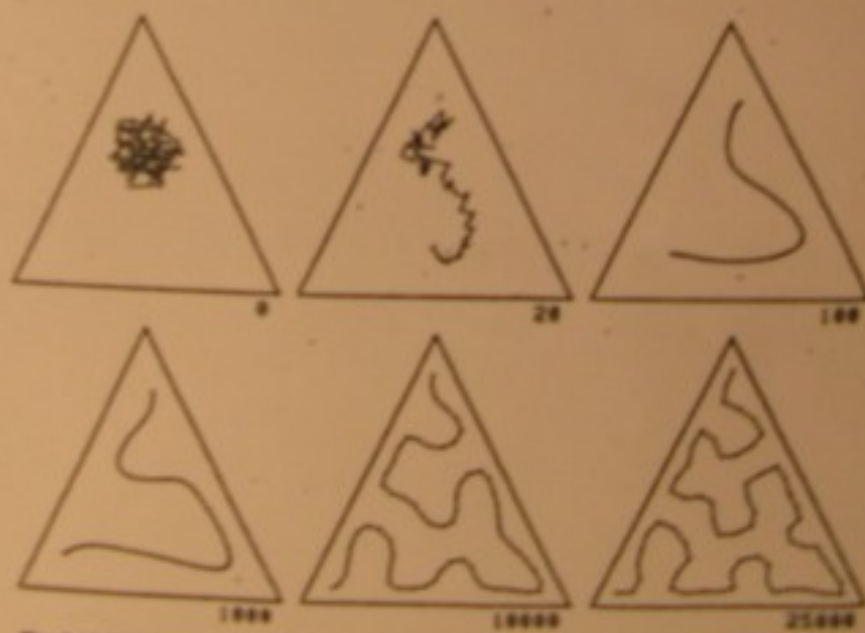


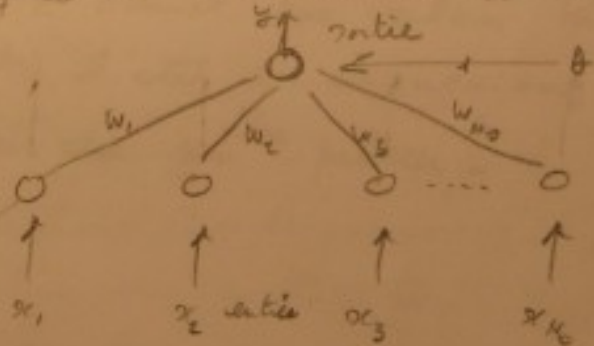
Fig. 3.17. Weight vectors during the ordering process

2. le règle de Widrow-Hoff et sa généralisation
(apprentissage supervisé)

2.1 le réseau Adaline (adaptation linéaire)

Le réseau Adaline est le système le plus simple incluant un algorithme supervisé apprenant. Le but ici est de minimiser une fonction d'écart calculée sur les écarts entre valeurs de sortie et valeur calculée par un réseau constitué d'une seule donnée et d'un neurone de sortie.

La fonction d'activation est linéaire



On a
la valeur de sortie est donc

$$y = \sum_{j=1}^{N+1} w_j x_j + \theta \quad \text{Soit } \theta = w_{N+1}$$

On peut écrire

$$\begin{aligned} y &= \mathbf{w}^T \vec{x} \\ \mathbf{w}^T &= (w_1, w_2, \dots, w_{N+1}, \theta)^T = \begin{pmatrix} w_1 \\ w_2 \\ \vdots \\ w_{N+1} \\ \theta \end{pmatrix} \\ \vec{x} &= (x_1, x_2, \dots, x_{N+1}, 1)^T = \begin{pmatrix} x_1 \\ x_2 \\ \vdots \\ x_{N+1} \\ 1 \end{pmatrix} \end{aligned}$$

Il s'agit d'obtenir la meilleure valeur de w telle que
elle minimise l'erreur

$$\text{Erreur } E = \frac{1}{2} \sum_{m=1}^M (y^{(m)} - t^{(m)})^2$$

entre les valeurs données en sortie $y^{(m)}$ et $t^{(m)}$
(ce sont des valeurs réelles - il y a tout nouveau en sortie)
et le valeur $y^{(m)}$ calculée par le
réseau.

Il s'agit de trouver la valeur des poids w_j
telle que E admet une valeur minimale.
Soit $w_j^{(m)}$ l'état des connexions après la
présentation du m^{me} pattern.

qui représente l'état de sommation des entrées
la fonction de sortie $y^{(m)}$

L'erreur E est une fonction des $w_j^{(m)}$ par
 $\{y^{(m)}\}$ et la fonction (linéaire) d'activation

$$y^{(m)} = \sum_{j=1}^{N_0} w_j^{(m)} x_j^{(m)} + b^{(m)}$$

La derivee
actuelle

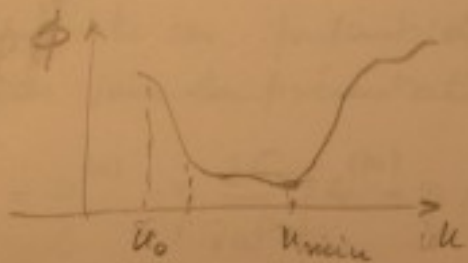
$$\frac{\partial E}{\partial w_j^{(m)}} = \frac{\partial E}{\partial y^{(m)}} \frac{\partial y^{(m)}}{\partial w_j^{(m)}}$$

$$= (\hat{y}^{(n)} - t^{(n)}) \hat{x}_j^{(n)}$$

sa forme vectorielle

$$\frac{\partial E}{\partial w^{(n)}} = (\hat{y}^{(n)} - t^{(n)}) \hat{z}^{(n)} \quad z = (x_1, x_2, \dots, x_{N_n}, 1)$$

A présent, l'on peut modifier $w^{(n)}$ pour se diriger vers le minimum. Prenons l'exemple de la recherche du minimum d'une fonction



ϕ de u - nous avons
établi $E = E(w^{(n)})$
pour chaque n

On doit trouver u_{\min} , de manière itérative. On fait de u_0 et on fait

$$u_1 = u_0 - \eta \left(\frac{d\phi}{du} \right)_{u_0} \quad \eta > 0$$

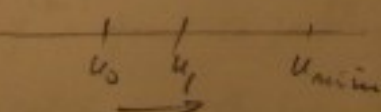
Car si $\left(\frac{d\phi}{du} \right)_{u_0} < 0$ alors $u_1 > u_0$

Arrivé au u_{\min} , l'algorithme

lance $u_k = u_{k-1} - \eta \left(\frac{d\phi}{du} \right)_k$ si $\left(\frac{d\phi}{du} \right)_k = 0$ exactement

alors $u_{k+1} = u_k$

et le processus arrête



Si u_{k+1} au pas de l'autre côté de U_{\min}

$$\text{Alors } u_{k+2} = u_{k+1} - \gamma \left(\frac{\partial f}{\partial u} \right)_{k+1} > 0$$

$u_k \quad U_{\min} \quad u_{k+1}$

$$\text{et } u_{k+2} < u_{k+1}$$

se déplace vers U_{\min} .

Ceci est le principe de la méthode.

Dans notre cas, partant de $w^{(m)}$ qui modifie les poids pour la présentation du pattern suivant

$$w^{(m+1)} = w^{(m)} - \gamma \frac{\partial L}{\partial w^{(m)}} = w^{(m)} - \gamma (y^{(m)} - t^{(m)}) z^{(m)}$$

L'algorithme est alors le suivant :

1) - on initialise les poids à des valeurs aléatoires petits

2) - on présente un pattern $(x_1^{(m)}, \dots, x_{N_o}^{(m)}, y^{(m)}) = z^{(m)}$
et on désigne une sortie désirée $t^{(m)}$ pour ce pattern.

3) - on calcule la sortie $y^{(m)}$ pour ce pattern

4) - les nouvelles valeurs de poids pour la présentation du pattern suivant sont

$$w^{(m+1)} = w^{(m)} - \gamma (y^{(m)} - t^{(m)}) z^{(m)}$$

où γ est un paramètre de $0 < \gamma < 1$

5) on calcule l'erreur E et si E est trop grande -

2.2 la rétro-ingénierie du gradient

En fait, la caractérisation linéaire de la fonction d'activation est une limitation très importante. Le réseau Adaline ne pourra pas fonctionner si les patterns sont bruités par exemple, comme dans le cas du réseau de Hef field. Donc pas moyen de faire linéaire

D'autre part, le passage à des structures multicoches va augmenter la potentialité.

la rétro-propagation du gradient

1 Architecture du réseau

Dans un réseau en couches, toute cellule d'entrée est suivie d'une succession de couches dites "cachées", pour finalement aboutir sur une couche de sortie.

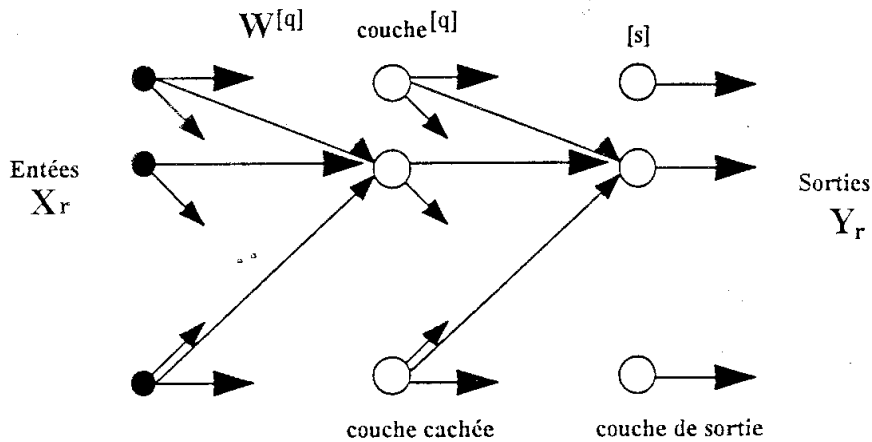


Fig. 1-Architecture générale d'un réseau multi-couches

La présence de neurones des couches intermédiaires apporte une richesse à la structure qui doit accroître les capacités du réseau. Il faut insister sur le fait que les cellules internes n'ont aucune connexion prédéfinie, elles ne servent qu'à contribuer à l'obtention du résultat souhaité en sortie. Une autre particularité réside dans la fonction de transfert des unités. Ce sont des éléments semi-linéaires, qui compressent le potentiel du neurone dans l'intervalle $[-1,+1]$. Les fonctions qui réalisent cette tâche doivent être continues et dérivables.

Pour l'unité i de la couche $[q]$, en considérant que les $x_j^{[q]}$ sont les entrées de cette couche, le potentiel $p_j^{[q]}$ vaudra:

$$p_j^{[q]} = \sum_j W_{ij} x_j^{[q]}$$

et la sortie $y_j^{[q]}$ sera déterminée, à partir du potentiel, comme:

$$y_j^{[q]} = \sigma(p_j^{[q]})$$

la fonction de transfert σ peut être, par exemple, égale à:

$$\sigma(v) = \text{th}(v) = \frac{e^v - e^{-v}}{e^v + e^{-v}}$$

où th dénote la fonction tangente hyperbolique dont la dérivé s'exprime par:

$$\text{th}'(v) = 1 - \text{th}^2(v)$$

Sur cette architecture, nous allons voir comment modifier les poids entre unités, c'est à dire comment faire l'apprentissage. L'architecture que nous venons de décrire comporte plusieurs paramètres, tels que la forme de la fonction de transfert, le nombre de couches, le nombre d'unités par couche. Actuellement, il n'existe pas de méthode analytique pour déterminer ces paramètres de structure. Il convient donc d'acquérir un savoir faire pour être capable d'exploiter au mieux ce modèle. C'est d'ailleurs ce qui le rend physiologiquement peu plausible et difficilement exploitable pour de gros problèmes.

2 Algorithme de retro-propagation du gradient

Comme nous venons de le voir, le réseau est structuré en couches successives, traversées par le signal d'entrée qui se propage vers la couche de sortie. Il n'est pas difficile de trouver un terme d'erreur à minimiser. Il suffira, en considérant qu'un superviseur est capable d'engendrer un objectif à atteindre, de calculer l'écart entre cet objectif et la réponse fournie par le réseau fig. 2 .

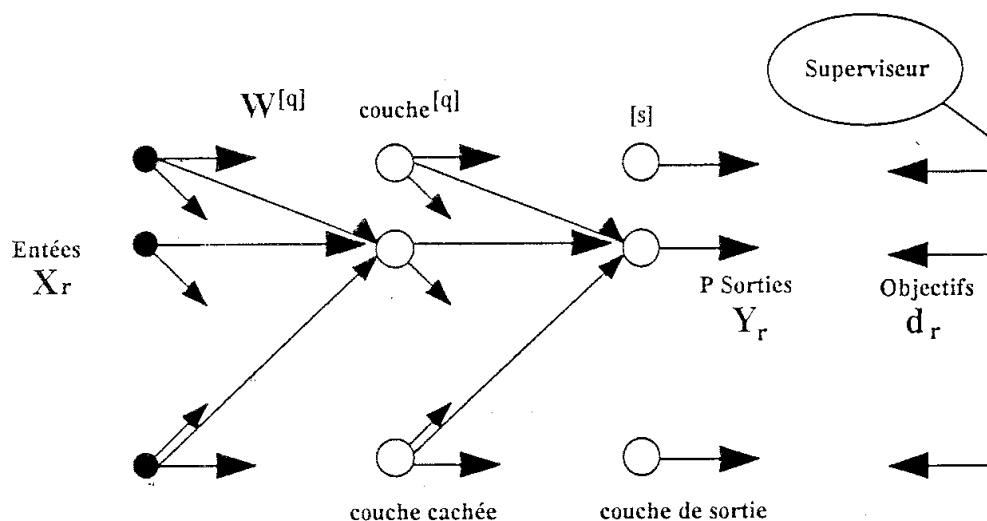


Fig. 2 -Calcul du terme d'erreur

L'algorithme d'ajustement des poids considère le terme d'erreur comme une grandeur à minimiser afin d'obtenir une configuration qui copie au mieux la fonction de transfert définie par les présentations successives des couples (x_r, d_r) . Or si nous voulons utiliser une technique de minimisation à base de gradient stochastique, seule la couche d'interconnexions reliée aux neurones de sortie a la connaissance de la grandeur à minimiser. Les couches internes, reliées aux neurones cachés, n'ont pas de terme à minimiser. Il n'y a ainsi aucune façon de connaître directement la variation des poids à appliquer. Le principe de l'algorithme de rétro-propagation du gradient réside dans la possibilité de donner un objectif aux neurones des couches internes et, par conséquent, une mesure de la variation des poids à appliquer pour le satisfaire. Un neurone placé dans une couche interne peut avoir l'erreur calculée en sortie du réseau à travers les poids qui le relient à la sortie. L'algorithme pourra ainsi moduler les poids qui arrivent sur un neurone afin de réduire sa participation à l'erreur calculée en sortie du réseau.

3 Définition du terme d'erreur

Nous définissons un terme d'erreur qu'il faut minimiser afin de trouver un ensemble de poids susceptibles de satisfaire le problème posé.

Pour un prototype r ($r = 1 \dots R$), avec K_S le nombre d'éléments de la couche de sortie le terme d'erreur instantanée, qui est un scalaire, s'écrit:

$$\xi_r = \sum_{k=1}^{K_S} (d_{kr} - y_{kr})^2$$

Le terme d'erreur doit être défini sur l'ensemble des erreurs instantanées mesurées à chaque présentation d'un couple (sortie désirée d_r , sortie obtenue y_r).

$$\xi = \sum_{r=1}^R \xi_r$$

Mais, dans la suite de la démonstration, nous ne considérerons que le terme d'erreur instantanée, sans nuire en cela à la généralité du calcul.

4 Détermination du gradient de l'erreur par rapport aux poids

Comme nous l'avons constaté, la fonction d'un réseau est basée sur trois paramètres: les poids, le potentiel du neurone et sa fonction de transfert non linéaire. Nous décomposerons les calculs de façon à faire apparaître toutes les opérations élémentaires ce qui nous permettra de simplifier la présentation de la démonstration. En premier lieu, nous examinons la variation de l'erreur par rapport au poids $W_{ij}[q]$ comme la composition de la variation de l'erreur par rapport à une variation du potentiel du neurone i de la couche $[q]$ et de la variation de ce potentiel en fonction des poids incidents $W_{ij}[q]$. Le potentiel p_i est choisi car il dépend de $W_{ij}[q]$.

$$\frac{\partial \xi}{\partial W_{ij}^{[q]}} = \frac{\partial \xi_r}{\partial p_{ir}^{[q]}} \frac{\partial p_{ir}^{[q]}}{\partial W_{ij}^{[q]}}$$

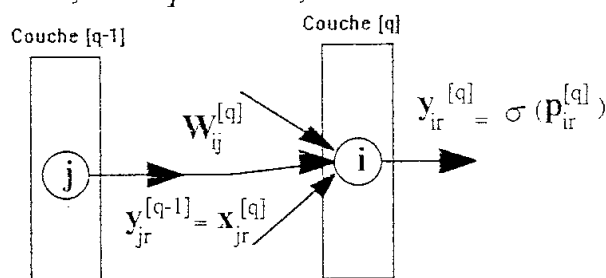


Fig 3 -Propagation à travers les couches

Nous appelons signal d'erreur instantanée le premier terme de cette décomposition, et nous le notons de la façon suivante:

$$\delta_{ir}^{[q]} = \frac{\partial \xi_r}{\partial p_{ir}^{[q]}}$$

Ce terme sera développé plus loin, en fonction de la couche $[q]$, et nous permettra de faire apparaître une forme récurrente pour son évaluation sur une couche interne à partir de la

sortie désirée. Considérons maintenant un neurone i placé sur une couche interne $[q]$. Son potentiel est calculé à partir des sorties de la couche précédente pondérées par les poids incidents. La variation de ce potentiel par rapport aux poids s'écrit:

si K_q est le nombre de neurones sur la couche q

$$\frac{\partial p_{ir}^{[q]}}{\partial W_{ij}^{[q]}} = \frac{\partial}{\partial W_{ij}^{[q]}} \left(\sum_{k=1}^{K_q} W_{ik}^{[q]} x_{kr}^{[q]} \right)$$

Le calcul de ce terme est immédiat et montre naturellement que le potentiel ne dépend que de l'entrée des neurones.

$$\frac{\partial p_{ir}^{[q]}}{\partial W_{ij}^{[q]}} = x_{jr}^{[q]}$$

En regroupant les deux membres de l'équation, nous pouvons dégager une forme simple de l'expression du gradient de l'erreur par rapport aux poids:

$$\boxed{\frac{\partial \xi_r}{\partial W_{ij}^{[q]}} = -\delta_{ir}^{[q]} x_{jr}^{[q]}}$$

5 Expression du signal d'erreur

Il faut maintenant expliciter le terme d'erreur δ_{ir} qui dépendra de la couche sur laquelle il est calculé. Nous décomposons le signal d'erreur comme la variation de l'erreur en fonction de la sortie multipliée par la variation de la sortie par rapport au potentiel:

$$\frac{\partial \xi_r}{\partial p_{ir}^{[q]}} = \frac{\partial \xi_r}{\partial y_{ir}^{[q]}} \frac{\partial y_{ir}^{[q]}}{\partial p_{ir}^{[q]}}$$

Ici encore, nous calculerons facilement le second membre de l'expression:

$$\frac{\partial y_{ir}^{[q]}}{\partial p_{ir}^{[q]}} = \sigma'(p_{ir}^{[q]})$$

c'est à dire que la variation de sortie n'est que la dérivée de la fonction de transfert du neurone appliquée à son potentiel. Il reste enfin à déterminer l'expression de la variation de l'erreur en fonction de celles de la sortie des neurones. Pour cela, nous allons considérer deux cas selon que nous nous trouvons sur la couche de sortie ou sur une couche cachée.

6.1. Couche de sortie: $q = s$

Pour la couche de sortie (s), qui contient K_s neurones, nous connaissons directement le terme d'erreur, comme il a été défini précédemment. L'expression du gradient de l'erreur par rapport aux sorties des neurones vaut donc:

$$\frac{\partial \xi_r}{\partial y_{ir}^{[s]}} = \frac{\partial}{\partial y_{ir}^{[s]}} \frac{1}{2} \sum_{k=1}^{K_s} (d_{kr} - y_{kr}^{[s]})^2$$

$$\frac{\partial \xi_r}{\partial y_{ir}^{[s]}} = -(d_{ir} - y_{ir}^{[s]})$$

Le signal d'erreur δ_{ir} , pour la couche de sortie vaut donc:

$$\delta_{ir}^{[s]} = + (d_{ir} - y_{ir}^{[s]}) \sigma'(p_{ir}^{[s]})$$

6.2. Couches cachées: $q < s$

Pour les couches cachées, l'expression du terme d'erreur n'est pas directement connue: c'est la difficulté principale de cet algorithme. Nous allons considérer que le terme d'erreur est vu *au travers des interconnexions qui relient la couche interne à la couche de sortie*. Nous évaluerons l'erreur de la façon suivante:

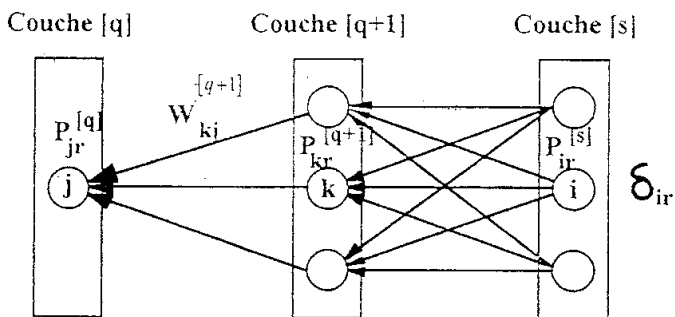


Fig Rétro-propagation du terme d'erreur

$$\frac{\partial \xi_r}{\partial y_{ir}^{[q]}} = \sum_{k=1}^{K_{[q+1]}} \frac{\partial \xi_r}{\partial p_{kr}^{[q+1]}} \frac{\partial p_{kr}^{[q+1]}}{\partial y_{ir}^{[q]}}$$

La variation de l'erreur en sortie du réseau par rapport à la sortie d'une couche interne est décomposée comme la somme de toutes les variations de l'erreur par rapport aux potentiels de la couche suivante multipliée par la variation de ces potentiels par rapport à la sortie du neurone considéré. Le second terme vaut, en écrivant $p_{kr}^{(q+1)}$ en fonction de la sortie de la couche précédente:

$$\frac{\partial \xi_r}{\partial y_{ir}^{[q]}} = \sum_{k=1}^{K_{[q+1]}} \frac{\partial \xi_r}{\partial p_{kr}^{[q+1]}} \frac{\partial}{\partial y_{ir}^{[q]}} \sum_{i=1}^{K_q} w_{ki}^{[q+1]} y_{ir}^{[q]}$$

donc:

$$\frac{\partial \xi_r}{\partial y_{ir}^{[q]}} = \sum_{k=1}^{K_{[q+1]}} \delta_{kr}^{[q+1]} W_{ki}^{[q+1]}$$

En reprenant la définition du signal d'erreur:

$$\frac{\partial \xi_r}{\partial p_{ir}^{[q]}} = \frac{\partial \xi_r}{\partial y_{ir}^{[q]}} \frac{\partial y_{ir}^{[q]}}{\partial p_{ir}^{[q]}}$$

nous pouvons extraire une formulation récurrente de δ_i . Le signal d'erreur pour une couche interne vaut:

$$\delta_{ir}^{[q]} = \sum_{k=1}^{K_{[q+1]}} \delta_{kr}^{[q+1]} W_{ki}^{[q+1]} \cdot \sigma'(p_{ir}^{[q]})$$

Cette expression permet de répercuter le signal d'erreur depuis la couche externe, où il est directement calculé à partir des sorties désirées, vers les couches internes où il est estimé.

7. Expression de la variation des poids.

Enfin, en reprenant la règle générale de modification des poids, on modifie les $W_{ij}^{(q)}$ suivant:

$$\Delta W_{ij}^{[q]} = \alpha \left(-\frac{\partial \xi_r}{\partial W_{ij}^{[q]}} \right) = \alpha (\delta_i^{[q]} x_{jr}^{[q]})$$

nous trouvons les formules suivantes:

1- Pour les poids entre l'avant dernière couche et la couche de sortie:

$$\Delta W_{ij}^{[s]} = \alpha (d_{ir} - y_{ir}) x_{jr}^{[s]} \sigma'(p_{ir}^{[s]})$$

2- Pour tous les poids entre la couche (q) et la couche($q+1$)

$$\Delta W_{ij} = \alpha \left(\sum_{k=1}^{K_{[q+1]}} \delta_{kr}^{[q+1]} W_{ki}^{[q+1]} \right) x_{jr}^{[q]} \sigma'(p_{ir}^{[q]})$$

Cette expression signifie que l'erreur en sortie du réseau est propagée en sens rétrograde avec les mêmes poids de connexion que ceux employés en sens direct.

La procédure de modification des poids se résume donc de la manière suivante:

- (1) Initialisation des poids $W(q)$ entre les neurones des couches consécutives $q=1, \dots, s$ à des petites valeurs aléatoires

- (2) Présentation d'une entrée x_r et de la sortie désirée d_r , r est le numéro de la présentation d'un couple (entrée, sortie désirée), $r = 1, \dots, R$

- (3) Calcul de la sortie actuelle par propagation directe à travers toutes les couches:

$$y_{jr}^{[q]} = \sigma \left(\sum_{i=1}^{Kq} W_{ji}^{[q]} y_{ir}^{[q-1]} \right) = \sigma \left(\sum_{i=1}^{Kq} W_{ji}^{[q]} x_{ir}^{[q]} \right)$$

où σ est la fonction neurone.

Pour la couche d'entrée $q = 1$, $y^{[q-1]} = x$

- (4) Calcul de l'erreur en sortie (pour le tracé de l'évolution du terme d'erreur, mais n'est pas nécessaire au calcul d'adaptation).

$$\xi_r = \frac{1}{2} \sum_{K=1}^{Ks} (d_{kr} - y_{kr}^{[s]})^2$$

où

d_r est la sortie désirée associée au vecteur x_r

$y_r^{[s]}$ est la sortie obtenue sur la dernière couche lors de la présentation du vecteur d'entrée x_r

ξ_r est l'erreur calculée pour le couple (x_r, d_r)

- (5) Rétro-propagation du signal d'erreur (δ_{ir}) depuis la dernière couche vers la première couche :

- pour chaque cellule de sortie:

$$\delta_{ir}^{[s]} = \sigma'(p_{ir}^{[s]}) (d_{ir} - y_{ir}^{[s]})$$

- pour les cellules cachées:

$$\delta_{ir}^{[q]} = \sum_{k=1}^{K_{q+1}} \delta_{kr}^{[q+1]} W_{ki}^{[q+1]} \sigma'(p_{ir}^{[q]})$$

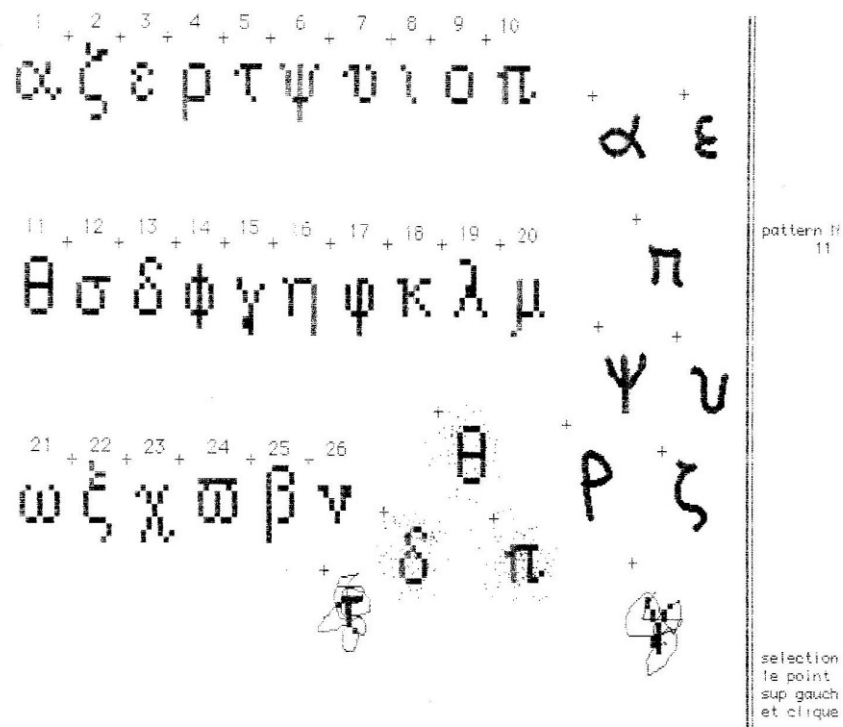
- (6) Mise à jour des poids selon la règle:

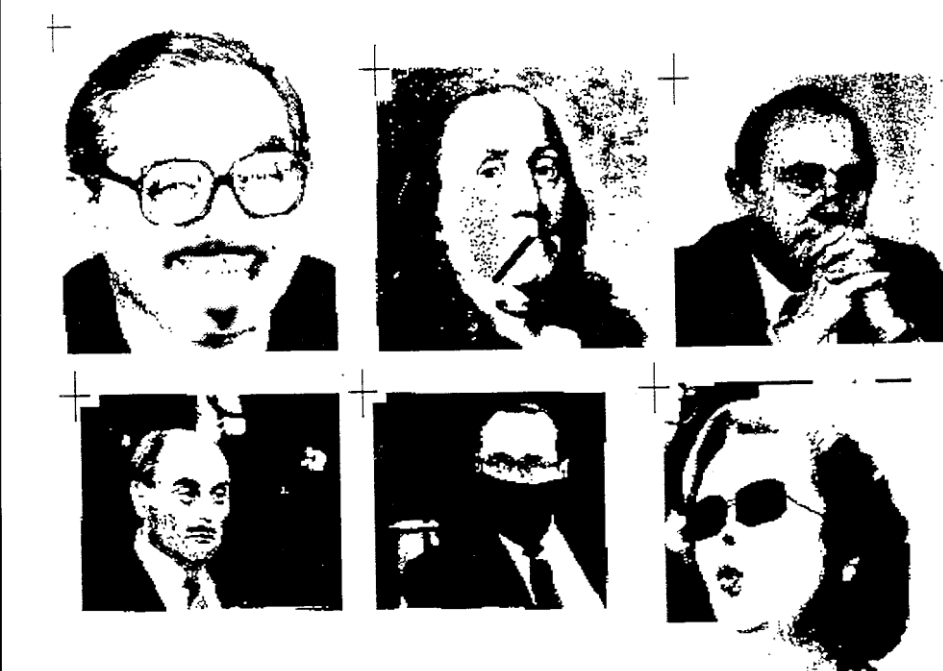
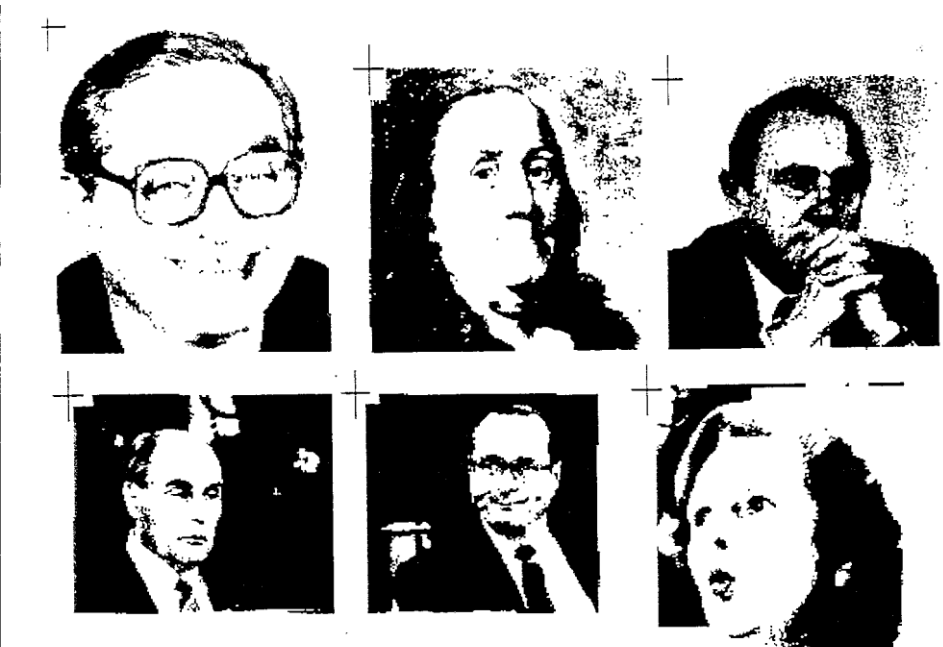
$$\Delta W_{ij}^{[q]} = \alpha (\delta_{ir}^{[q]} x_{jr}^{[q]})$$

où α est un paramètre d'apprentissage compris entre 0 et +1.

- (7) retour à (2) tant qu'il y a des couples à présenter

Applications : Identification de patterns





Prédiction de séries temporelles

